



Laboratorium EMVO Sp. J. Urbański, Pawelak  
ul. Jasna 1  
00-013 Warszawa

tel. +48 22 780 29 64  
e-mail: laboratorium@emvo.pl



AB 1630

## Sprawozdanie z pomiarów pól elektromagnetycznych - środowisko nr 55/11/OŚ/2022– P4-W



<b>Nr i nazwa stacji</b>	<b>LUB1074A</b>	
<b>Adres</b>	<b>Lublin, Nizinna 1, dz. nr 208/9, pow. Lublin, woj. lubelskie</b>	
<b>Opracowanie</b>		<b>Specjalista ds. pomiarów</b>
<b>Autoryzacja</b>		<b>Kierownik Laboratorium</b>
<b>Podpis</b>	Podpis jest prawidłowy Dokument podpisany przez [redacted] Data: 2022.11.16 07:24:12 Powód: Zatwierdzam dokument	
<b>Data</b>	<b>2022-11-15</b>	

## Spis treści

1. Informacje ogólne.....	3
2. Podstawa prawna. ....	3
3. Opis pomiarów.....	4
4. Zróżnicowanie dopuszczalne poziomy pól elektromagnetycznych.....	5
5. Charakterystyka źródeł PEM.....	5
6. Wyniki pomiarów.....	5
7. Stwierdzenie zgodności .....	6
8. Oświadczenie.....	8
9. Spis załączników. ....	8

## 1. Informacje ogólne.

Zleceniodawca	P4 sp. z o.o., ul. Wynałazek 1, 02-677 Warszawa osoba udzielająca informacji-
Istotne informacje dostarczone przez klienta	komplet informacji niezbędnych do wykonania pomiarów i opracowania sprawozdania
Dane otrzymane od klienta mogące mieć wpływ na ważność wyników	Dane anten sektorowych, dane anten radioliniowych, parametry pracy instalacji, ustawienie pochylenia anten
Prowadzący instalację	P4 sp. z o.o., ul. Wynałazek 1, 02-677 Warszawa
Lokalizacja obiektu	Lublin, Nizinna 1, dz. nr 208/9, pow. Lublin, woj. lubelskie
Miejsce instalacji anten	Wieża kratowa
Miejsce instalacji urządzeń	Outdoor
Osoby wykonujące pomiar	
Data wykonania pomiaru	15.11.2022
Temperatura na początku pomiaru [°C]	5,0
Temperatura na koniec pomiaru [°C]	5,0
Warunki atmosferyczne	Brak opadów
Wilgotność na początku pomiaru [%]	90,0
Wilgotność na koniec pomiaru [%]	90,0
Godzina na początku pomiaru	10:23
Godzina na koniec pomiaru	12:00
Inne źródła pól elektromagnetycznych oznaczone na załączniku graficznym	Występują
Parametry pracy instalacji	Tryb eksploatacyjny

## 2. Podstawa prawna.

### 2.1 Normy i rozporządzenia:

- Rozporządzeniem Ministra Klimatu z dnia 17 lutego 2020 r. w sprawie sposobów sprawdzania dotrzymania dopuszczalnych poziomów pól elektromagnetycznych w środowisku (Dz.U. 2020 poz. 258)
- Rozporządzenie Ministra Zdrowia z dnia 17 grudnia 2019 r. w sprawie dopuszczalnych poziomów pól elektromagnetycznych w środowisku (Dz.U. 2019 poz. 2448)
- Obwieszczenie Marszałka Sejmu Rzeczypospolitej Polskiej z dnia 19 lipca 2019 r. w sprawie ogłoszenia jednolitego tekstu ustawy - Prawo ochrony środowiska (Dz.U. 2019 poz. 1396)
- Rozporządzenie Ministra Klimatu i Środowiska z dnia 6 maja 2022 r. zmieniające rozporządzenie w sprawie sposobów sprawdzania dotrzymywania dopuszczalnych poziomów pól elektromagnetycznych w środowisku (Dz.U. 2022 poz. 1121).

„Bez pisemnej zgody Laboratorium niniejsze sprawozdanie nie może być powielane inaczej, jak tylko w całości. Ponadto wyniki dotyczą tylko badanych obiektów przywołanych w niniejszym sprawozdaniu z badań”

### 3. Opis pomiarów

Metodologia pomiarowa	Pomiary w oparciu o Rozporządzeniem Ministra Klimatu z dnia 17 lutego 2020 r. w sprawie sposobów sprawdzania dotrzymania dopuszczalnych poziomów pól elektromagnetycznych w środowisku (Dz.U. 2020 poz. 258) oraz Rozporządzenie Ministra Klimatu i Środowiska z dnia 6 maja 2022 r. zmieniające rozporządzenie w sprawie sposobów sprawdzania dotrzymywania dopuszczalnych poziomów pól elektromagnetycznych w środowisku (Dz.U. 2022 poz. 1121).
Cel badań	Określenie wartości natężenia pola elektrycznego w miejscach dostępnych dla ludności.
Opis zestawu pomiarowego	Miernik Narda NBM 550, Sonda EF9091, o zakresie pomiarowym 0,7 V/m - 300V/m pracująca w paśmie 0,1 – 90 GHz, świadectwo wydane przez Laboratorium Wzorców i Metrologii Pola Elektromagnetycznego, Instytut Telekomunikacji, Teleinformatyki i Akustyki Politechniki Wrocławskiej. Świadectwo ważne do 10.06.2024r. Miernik Narda NBM 550, Sonda EF9091 pracująca w zakresie temperatury -10°C +50°C oraz wilgotności 5% - 95%. Niepewność rozszerzona 59% przy poziomie ufności 95% z uwzględnieniem współczynnika rozszerzenia k=2.
Wyposażenie pomocnicze	Termohigrometr Termoprodukt, typ: Termik+, Nr. inwentarzowy 43/WL, nr identyfikacyjny 1530619, świadectwo wzorcowania nr 0392/AH/20 z dn. 02.03.2020 r. wydane przez Laboratorium Pomiarowe "MUTECH". Dalmierz laserowy BOSH GLM 40, Nr. inwentarzowy 27/WL, nr seryjny 711425432, Świadectwo wzorcowania L4-L41.4180.141.2018.3061.1 z dnia 12 września 2018 wydane przez Pracownia Długości Samodzielnego Laboratorium Długości w Głównym Urzędzie Miar. GPS Garmin 64s okresowo sprawdzany w punktach osnowy geodezyjnej klasy 3 na podstawie licencji punktu, zgodnie z procedurą sprawdzeń okresowych IS/PO16-11/03.
Pomiary zostały wykonane	<ol style="list-style-type: none"><li>1. na głównych i pomocniczych kierunkach pomiarowych, na kierunkach zbliżonych do azymutów anten oraz w dodatkowych pionach pomiarowych zgodnie z wymaganiami pkt 12, 13, 14 i 19 Rozporządzenia Ministra Klimatu z dnia 17 lutego 2020 r. (Dz. U. 2020, poz. 258) oraz Rozporządzenia Ministra Klimatu i Środowiska z dnia 6 maja 2022 r. zmieniającego rozporządzenie w sprawie sposobów sprawdzania dotrzymywania dopuszczalnych poziomów pól elektromagnetycznych w środowisku (Dz.U. 2022 poz. 1121).</li><li>2. na obszarze pomiarowym, dla którego, na podstawie uprzednio przeprowadzonych obliczeń stwierdzono w miejscach dostępnych dla ludności występowanie pól elektromagnetycznych o najwyższym poziomie, które pochodzą z badanej instalacji zgodnie z wymaganiami pkt 5 ppkt 2 oraz pkt 13 ppkt 1 Rozporządzenia Ministra Klimatu z dnia 17 lutego 2020 r. w sprawie sposobów sprawdzania dotrzymania dopuszczalnych poziomów pól elektromagnetycznych w środowisku (Dz. U. 2020, poz. 258) oraz Rozporządzenia Ministra Klimatu i Środowiska z dnia 6 maja 2022 r. zmieniającego rozporządzenie w sprawie sposobów sprawdzania dotrzymywania dopuszczalnych poziomów pól elektromagnetycznych w środowisku (Dz.U. 2022 poz. 1121). Wyniki obliczeń nie uwzględniały parametrów pracy instalacji innych operatorów występujących na obiekcie bądź w obszarze pomiarowym.</li><li>3. w miejscach dostępnych dla ludności.</li><li>4. miejsca niedostępne podczas wykonywania pomiarów wskazane zostały w pkt 6 (tabeli wyniki pomiarów).</li></ol>

Szczególne warunki podczas wykonywania pomiarów

Pomiary wykonane zostały podczas obowiązywania w kraju stanu zagrożenia epidemicznego, zgodnie z art. 122a ust. 1b Ustawy z dnia 27 kwietnia 2001 r. – Prawo ochrony środowiska (Dz. U. z 2019 r. poz. 1396, z późn. zm.9)).

Warunki pracy urządzeń nadawczych

Tryb pracy eksploatacyjny.

#### 4. Zróżnicowanie dopuszczalne poziomych pól elektromagnetycznych.

Zakresy znajdują się w Dzienniku Ustaw z dnia 17 grudnia 2019 r. przedstawione są w tabeli nr 2 (Dz. U. z 2019r. poz. 2448).

Parametr fizyczny	Składowa elektryczna E (V/m)	Składowa magnetyczna H (A/m)	Gęstość mocy S (W/m <sup>2</sup> )
Zakres Częstotliwości pola elektromagnetycznego			
od 400 MHz do 2000 MHz	$1,375 \times f^{0,5}$	$0,0037 \times f^{0,5}$	f / 200
od 2 GHz do 300 GHz	61	0,16	10

#### 5. Charakterystyka źródeł PEM.

Zgodnie z informacją otrzymaną od Klienta pomiary zostały wykonane przy ustawieniach pochylecia anten zgodnych z pkt. 13, ppkt 2 Rozporządzenia Ministra Klimatu z dnia 17 lutego 2020 roku.

Tabela 1. Anteny sektorowe - dane otrzymane od klienta

Charakterystyka promieniowania		kierunkowa									
Rzeczywisty czas pracy [h/dobę]		24									
Rodzaj wytwarzanego pola		stacjonarne									
L p	Wyszczególnienie	sektor 1					sektor 2				
		<b>Nadajnik stacji bazowej:</b>									
1	Typ / Producent	RBS / SRAN Ericsson									
2	Częstotliwość (pasmo) MHz	800	2600	2100	1800	900	800	2600	2100	1800	900
3	Maksymalna moc nadawana na sektor [dBm]	49,03	52,04	50	50	47,78	49,03	52,04	50	50	47,78
		<b>Obciążenie:</b>									
1	Typ anteny	Huawei A794517R0	Huawei ADU4521R0	Kathrein 742213	Kathrein 80010306	Huawei A794517R0	Huawei ADU4521R0	Kathrein 742213	Kathrein 80010306		
2	Producent anteny	Huawei	Huawei	Kathrein	Kathrein	Huawei	Huawei	Kathrein	Kathrein		
3	Ilość anten	1	1	1	1	1	1	1	1	1	1
4	Azymut	30					140				
5	Zakres kątów pochylecia anten [°]	0-10	0-6	0-6	0-6	0,5-9,5	0-10	0-6	0-6	0-6	0,5-9,5
6	Wysokość zainst. n.p.t. [m]	45,00					50,00				
7	EIRP [W]	3807	19734	14981	3039	3807	19734	14981	3039		

Charakterystyka promieniowania		kierunkowa				
Rzeczywisty czas pracy [h/dobę]		24				
Rodzaj wytwarzanego pola		stacjonarne				
Lp	Wyszczególnienie	sektor 3				
I	Nadajnik stacji bazowej:					
1	Typ / Producent	RBS / SRAN Ericsson				
2	Częstotliwość (pasmo) MHz	800	2600	2100	1800	900
3	Maksymalna moc nadawana na sektor [dBm]	49,03	52,04	50	50	47,78
II	Obciążenie:					
1	Typ anteny	Huawei A794517R0	Huawei ADU4521R0	Kathrein 742213	Kathrein 80010306	
2	Producent anteny	Huawei	Huawei	Kathrein	Kathrein	
3	Ilość anten	1	1	1	1	
4	Azymut	270				
5	Zakres kątów pochylecia anten [°]	0-10	0-6	0-6	0-6	0,5-9,5
6	Wysokość zainst. n.p.t. [m]	50,00				
7	EIRP [W]	3807	19734	14981	3039	

Tabela 2. Anteny radioliniowe- dane otrzymane od klienta

Charakterystyka promieniowania		kierunkowa					
Rzeczywisty czas pracy [h/dobę]		24					
Rodzaj wytwarzanego pola		stacjonarne					
Lp	Linia radiowa			Antena			
	typ/producent	częstotliwość pracy [GHz]	moc wyjściowa [dBm]	typ/producent	średnica anteny [m]	azymut [°]	wysokość zainstal. [m]
1	OPTIX RTN/HUAWEI	80	18	VHLP2-80/Andrew	0,6	41	53,60
2	OPTIX RTN/HUAWEI	80/23	18/25	A23S80S06/Huawei	0,6	190	53,60
3	OPTIX RTN/HUAWEI	80/23	17/25	A23S80S06/Huawei	0,6	222	53,00
4	OPTIX RTN/HUAWEI	80/23	17/25	A23S80S06/Huawei	0,6	261	53,60
5	MINI-LINK/ERICSSON	80	18	ANT2 B 0.6 80 HP/Ericsson	0,6	303	53,60

## 6. Wyniki pomiarów.

Wyniki pomiarów pól elektromagnetycznych dla celów ochrony środowiska przedstawia poniższa tabela. Piony pomiarowe zostały przedstawione w zał. 2.

Nr PP	Pole-E [V/m]	Pole-E +U [V/m]	Pole-H [A/m]	Pole-H +U [A/m]	Wys. pomiaru [m]	Opis pionu	Uwagi	WM <sub>E</sub>	WM <sub>H</sub>
1	0,7*	1,27	0,002	0,003	0,3-2,0	N:51°10'15.2" E:22°29'58.8"	otoczenie stacji bazowej - 50m wzdłuż gł. osi promieniowania - GKP	0,045	0,046
2	0,8	1,27	0,002	0,003	0,3-2,0	N:51°10'16.8" E:22°30'00.2"	otoczenie stacji bazowej - 100m wzdłuż gł. osi promieniowania - GKP	0,045	0,046
3	0,9	1,43	0,002	0,004	0,3-2,0	N:51°10'18.4" E:22°30'01.7"	otoczenie stacji bazowej - 150m wzdłuż gł. osi promieniowania - GKP	0,051	0,052
4	0,9	1,43	0,002	0,004	0,3-2,0	N:51°10'19.6" E:22°30'02.7"	otoczenie stacji bazowej - 200m wzdłuż gł. osi promieniowania - GKP	0,051	0,052
5	0,8	1,27	0,002	0,003	0,3-2,0	N:51°10'23.3" E:22°30'07.2"	otoczenie stacji bazowej - 350m wzdłuż gł. osi promieniowania - GKP	0,045	0,046
6	0,7*	1,27	0,002	0,003	0,3-2,0	N:51°10'25.2" E:22°30'08.9"	otoczenie stacji bazowej - 400m wzdłuż gł. osi promieniowania - GKP	0,045	0,046
7	0,7*	1,27	0,002	0,003	0,3-2,0	N:51°10'26.3" E:22°30'09.9"	otoczenie stacji bazowej - 450m wzdłuż gł. osi promieniowania - GKP	0,045	0,046

„Bez pisemnej zgody Laboratorium niniejsze sprawozdanie nie może być powielane inaczej, jak tylko w całości. Ponadto wyniki dotyczą tylko badanych obiektów przywołanych w niniejszym sprawozdaniu z badań”

8	0,8	1,27	0,002	0,003	0,3-2,0	N:51°10'12.8" E:22°29'59.5"	otoczenie stacji bazowej - 50m wzdłuż gł. osi promieniowania - GKP	0,045	0,046
9	0,8	1,27	0,002	0,003	0,3-2,0	N:51°10'11.5" E:22°30'00.8"	otoczenie stacji bazowej - 100m wzdłuż gł. osi promieniowania - GKP	0,045	0,046
10	0,9	1,43	0,002	0,004	0,3-2,0	N:51°10'10.3" E:22°30'02.6"	otoczenie stacji bazowej - 150m wzdłuż gł. osi promieniowania - GKP	0,051	0,052
11	0,8	1,27	0,002	0,003	0,3-2,0	N:51°10'07.6" E:22°30'05.9"	otoczenie stacji bazowej - 250m wzdłuż gł. osi promieniowania - GKP	0,045	0,046
12	0,8	1,27	0,002	0,003	0,3-2,0	N:51°10'04.5" E:22°30'10.5"	otoczenie stacji bazowej - 400m wzdłuż gł. osi promieniowania - GKP	0,045	0,046
13	0,7*	1,27	0,002	0,003	0,3-2,0	N:51°10'01.8" E:22°30'13.4"	otoczenie stacji bazowej - 500m wzdłuż gł. osi promieniowania - GKP	0,045	0,046
14	0,9	1,43	0,002	0,004	0,3-2,0	N:51°10'13.8" E:22°29'54.9"	otoczenie stacji bazowej - 50m wzdłuż gł. osi promieniowania - GKP	0,051	0,052
15	1,2	1,91	0,003	0,005	0,3-2,0	N:51°10'14.4" E:22°29'51.8"	otoczenie stacji bazowej - 100m wzdłuż gł. osi promieniowania - GKP	0,068	0,069
16	1,0	1,59	0,003	0,004	0,3-2,0	N:51°10'14.4" E:22°29'49.7"	otoczenie stacji bazowej - 150m wzdłuż gł. osi promieniowania - GKP	0,057	0,058
17	0,8	1,27	0,002	0,003	0,3-2,0	N:51°10'14.6" E:22°29'44.8"	otoczenie stacji bazowej - 250m wzdłuż gł. osi promieniowania - GKP	0,045	0,046
18	0,8	1,27	0,002	0,003	0,3-2,0	N:51°10'14.5" E:22°29'42.1"	otoczenie stacji bazowej - 300m wzdłuż gł. osi promieniowania - GKP	0,045	0,046
19	0,8	1,27	0,002	0,003	0,3-2,0	N:51°10'14.5" E:22°29'39.7"	otoczenie stacji bazowej - 350m wzdłuż gł. osi promieniowania - GKP	0,045	0,046
20	0,8	1,27	0,002	0,003	0,3-2,0	N:51°10'14.5" E:22°29'36.9"	otoczenie stacji bazowej - 400m wzdłuż gł. osi promieniowania - GKP	0,045	0,046
21	0,7*	1,27	0,002	0,003	0,3-2,0	N:51°10'14.8" E:22°29'34.2"	otoczenie stacji bazowej - 450m wzdłuż gł. osi promieniowania - GKP	0,045	0,046
22	0,7*	1,27	0,002	0,003	0,3-2,0	N:51°10'14.8" E:22°29'32.1"	otoczenie stacji bazowej - 500m wzdłuż gł. osi promieniowania - GKP	0,045	0,046
23	0,7*	1,27	0,002	0,003	0,3-2,0	N:51°10'15.1" E:22°29'59.4"	otoczenie stacji bazowej - 50m wzdłuż gł. osi promieniowania - GKP	0,045	0,046
24	0,9	1,43	0,002	0,004	0,3-2,0	N:51°10'10.9" E:22°29'56.6"	otoczenie stacji bazowej - 100m wzdłuż gł. osi promieniowania - GKP	0,051	0,052
25	0,7*	1,27	0,002	0,003	0,3-2,0	N:51°10'15.9" E:22°29'53.7"	otoczenie stacji bazowej - 100m wzdłuż gł. osi promieniowania - GKP	0,045	0,046
26	0,8	1,27	0,002	0,003	0,3-2,0	N:51°10'15.1" E:22°30'01.4"	otoczenie stacji bazowej - GKP	0,045	0,046
27	0,8	1,27	0,002	0,003	0,3-2,0	N:51°10'13.1" E:22°30'01.3"	otoczenie stacji bazowej - GKP	0,045	0,046
28	1,0	1,59	0,003	0,004	0,3-2,0	N:51°10'13.3" E:22°29'55.3"	otoczenie stacji bazowej - 50m wzdłuż gł. osi promieniowania - GKP	0,057	0,058
29	0,7*	1,27	0,002	0,003	0,3-2,0	N:51°10'13.2" E:22°29'51.7"	otoczenie stacji bazowej - GKP	0,045	0,046
30	0,7*	1,27	0,002	0,003	0,3-2,0	N:51°10'17.5" E:22°29'55.7"	otoczenie stacji bazowej - GKP	0,045	0,046
A	0,9	1,43	0,002	0,004	0,3-2,0	N:51°10'16.7" E:22°29'58.3"	Tęczowa 171, pomiar przed posesją - DPP	0,051	0,052
B	0,8	1,27	0,002	0,003	0,3-2,0	N:51°10'15.4" E:22°29'53.3"	Nizinna 3/3d, pomiar przed posesją - DPP	0,045	0,046
C	1,0	1,59	0,003	0,004	0,3-2,0	N:51°10'14.5" E:22°29'49.3"	Nizinna 4, pomiar przed posesją -DPP	0,057	0,058
D	0,9	1,43	0,002	0,004	0,3-2,0	N:51°10'19.7" E:22°30'05.1"	Tęczowa 161, pomiar przed posesją - DPP	0,051	0,052
E	0,9	1,43	0,002	0,004	0,3-2,0	N:51°10'09.8" E:22°30'04.5"	Krężnicka 180, pomiar przed posesją -DPP	0,051	0,052
F	0,9	1,43	0,002	0,004	0,3-2,0	N:51°10'09.2" E:22°30'02.6"	Krężnicka 182, pomiar przed posesją -DPP	0,051	0,052
G	0,8	1,27	0,002	0,003	0,3-2,0	N:51°10'06.7" E:22°30'06.9"	Krężnicka 182a, pomiar przed posesją -DPP	0,045	0,046
H	0,8	1,27	0,002	0,003	0,3-2,0	N:51°10'04.3" E:22°30'10.3"	Niezapominajki 21, pomiar przed posesją -DPP	0,045	0,046
I	0,8	1,27	0,002	0,003	0,3-2,0	N:51°10'03.7" E:22°30'08.9"	Niezapominajki 23, pomiar przed posesją -DPP	0,045	0,046
J	0,8	1,27	0,002	0,003	0,3-2,0	N:51°10'03.7" E:22°30'10.6"	Niezapominajki 52, pomiar przed posesją -DPP	0,045	0,046

„Bez pisemnej zgody Laboratorium niniejsze sprawozdanie nie może być powielane inaczej, jak tylko w całości. Ponadto wyniki dotyczą tylko badanych obiektów przywołanych w niniejszym sprawozdaniu z badań”

K	0,8	1,27	0,002	0,003	0,3-2,0	N:51°10'11.9" E:22°29'57.8"	Tęczowa 173, pomiar przed budynkiem -DPP	0,045	0,046
L	0,9	1,43	0,002	0,004	0,3-2,0	N:51°10'13.1" E:22°29'53.8"	Nizinna 1, pomiar przed budynkiem - DPP	0,051	0,052
M	0,7*	1,27	0,002	0,003	0,3-2,0	N:51°10'23.0" E:22°30'05.6"	Łąkowa 15, pomiar przed budynkiem -DPP	0,045	0,046
N	Brak dostępu – pomieszczenia przemysłowe								

Wynik pomiaru pole - E [V/m] - maksymalna wartość chwilowa zmierzona w danym pionie pomiarowym (uśredniona na podstawie punktu 11 Rozporządzenia Ministra Zdrowia).

Przyjęto najniższą dopuszczalną wartość składowej elektrycznej pola dla objętego pomiarami zakresu częstotliwości  $\min(ME_{gr})= 28 \text{ V/m}$  oraz składowej magnetycznej  $\min(MH_{gr})= 0,073 \text{ A/m}$ .

\* - wartość zmierzona poniżej zakresu akredytacji. Do obliczeń przyjęto wartość zgodną z dolną granicą akredytowanego zakresu pomiarowego metody.

GKP - główne kierunki pomiarowe

PKP - pomocnicze kierunki pomiarowe

DPP - dodatkowe punkty pomiarowe

PP - pion pomiarowy

U - niepewność pomiarowa rozszerzona, przy poziomie ufności 95%, z uwzględnieniem współczynnika rozszerzenia  $k=2$

WM<sub>E</sub> - wartość wskaźnikowa poziomu emisji pól elektromagnetycznych dla miejsc dostępnych dla ludności dla składowej elektrycznej pola

WM<sub>H</sub> - wartość wskaźnikowa poziomu emisji pól elektromagnetycznych dla miejsc dostępnych dla ludności dla składowej magnetycznej pola

## 7. Stwierdzenie zgodności

Na podstawie wytycznych podanych w Rozporządzeniu Ministra Zdrowia z dnia 17 grudnia 2019 r. w sprawie dopuszczalnych poziomów pól elektromagnetycznych w środowisku (Dz.U. 2019 poz. 2448) oraz sposobów sprawdzania dotrzymania tych poziomów zgodnie z Rozporządzeniem Ministra Klimatu z dnia 17 lutego 2020 r. w sprawie sposobów sprawdzania dotrzymania dopuszczalnych poziomów pól elektromagnetycznych w środowisku (Dz.U. 2020 poz. 258) oraz Rozporządzeniem Ministra Klimatu i Środowiska z dnia 6 maja 2022 r. zmieniającego rozporządzenie w sprawie sposobów sprawdzania dotrzymania dopuszczalnych poziomów pól elektromagnetycznych w środowisku (Dz.U. 2022 poz. 1121), dotyczących źródła wymagań, które muszą być spełnione, w oparciu o zasadę podejmowania decyzji zgodną z pkt. 26 Rozporządzenia Ministra Klimatu z dnia 17 lutego 2020 r. (Dz.U. 2020 poz. 258), na podstawie wyników pomiarów pól elektromagnetycznych wykonanych w dniu 15.11.2022 stwierdzono, że wszystkie wyniki przeprowadzonych pomiarów w danym obszarze pomiarowym oraz wyznaczone na tej podstawie wskaźniki WME oraz WMH są mniejsze od wartości dopuszczalnych – zgodnie z przepisami wydanymi na podstawie art. 122 ust. 1 ustawy z dnia 27 kwietnia 2001 r. – Prawo ochrony środowiska – załącznikiem do Rozporządzenia Ministra Klimatu i Środowiska z dnia 17 lutego 2020 r. w sprawie sposobów sprawdzania dotrzymania dopuszczalnych poziomów pól elektromagnetycznych w środowisku (Dz.U. 2020 poz. 258, pkt 26).

## 8. Oświadczenie.

Wyniki badania odnoszą się wyłącznie do badanego obiektu.

Bez pisemnej zgody sprawozdanie nie może być powielane inaczej, jak tylko w całości.

Uwagi i zastrzeżenia przyjmowane są w formie pisemnej w ciągu 14 dni od daty otrzymania sprawozdania.

## 9. Spis załączników.

Załącznik 1. Lokalizacja obiektu.

Załącznik 2. Widok pionów pomiarowych

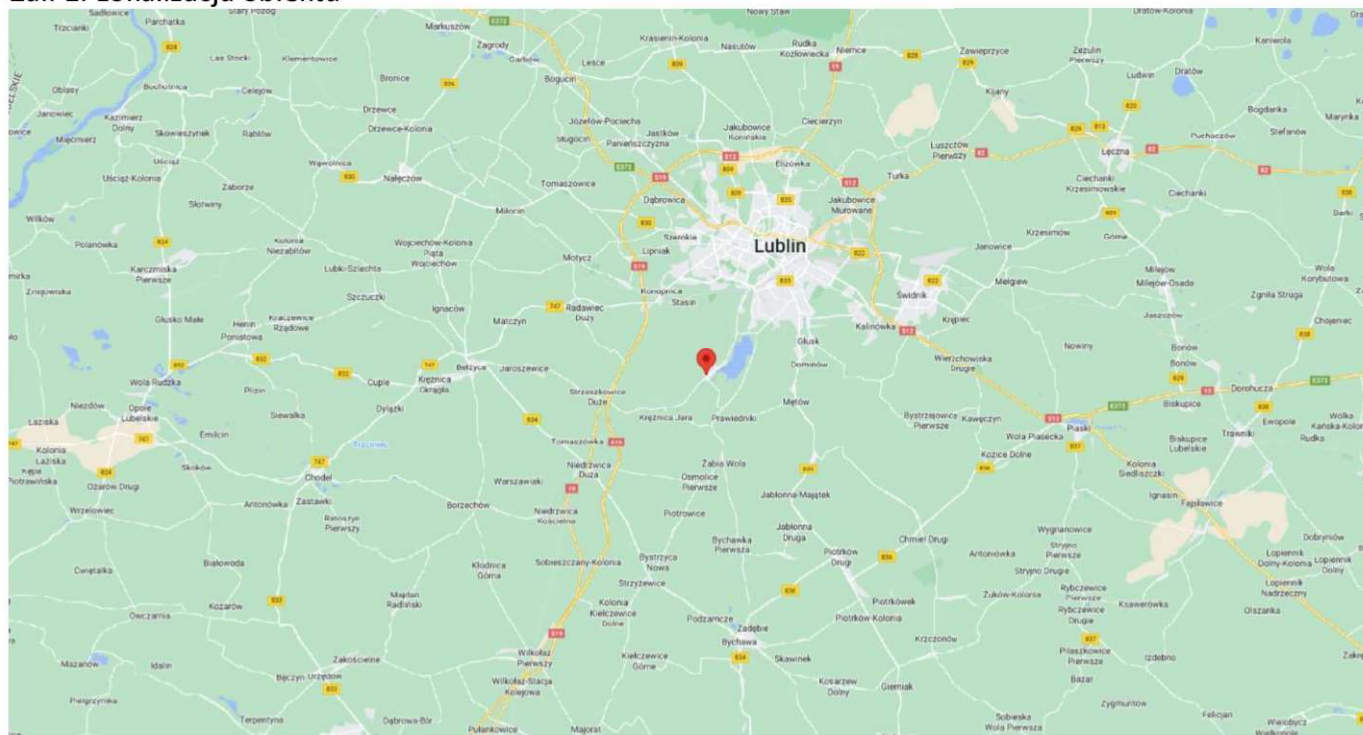
Załącznik 3. Załączniki graficzne

## Koniec sprawozdania

„Bez pisemnej zgody Laboratorium niniejsze sprawozdanie nie może być powielane inaczej, jak tylko w całości. Ponadto wyniki dotyczą tylko badanych obiektów przywołanych w niniejszym sprawozdaniu z badań”

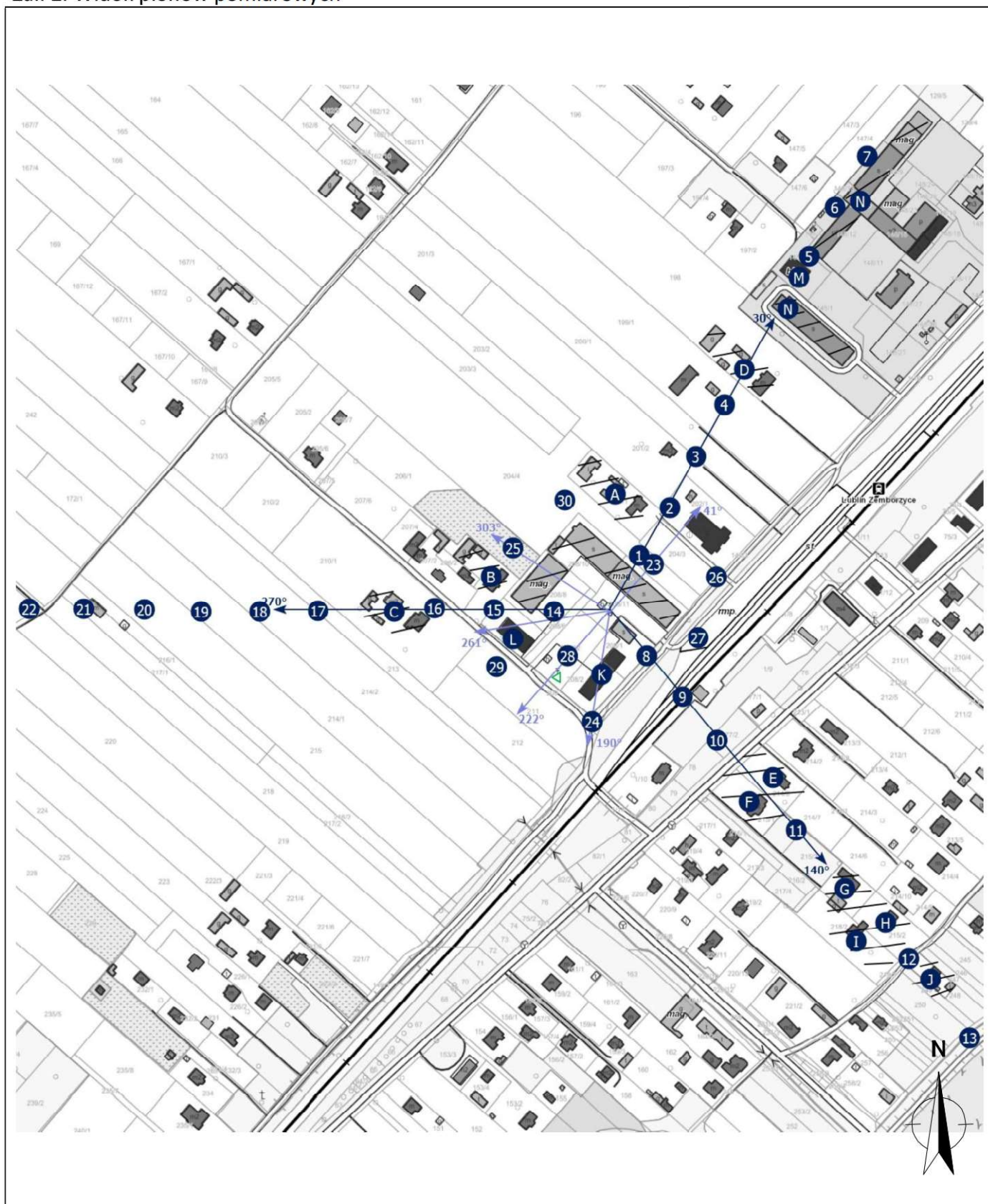


## Załącznik 1. Lokalizacja obiektu




Współrzędne geograficzne	
długość:	22°29'57.65"E
szerokość:	51°10'14.11"N


## Załącznik 2. Widok pionów pomiarowych



### LEGENDA:

 inna instalacja radiokomunikacyjna

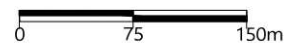
 brak dostępu

 pion pomiaru

 antena sektorowa

 antena radioliowa

Skala: 1:5800



Zał. 3. Załączniki graficzne.

